

OPTIMALIZAÈNÉ MODELY TVORBY GRAFIKONU VLAKOVEJ DOPRAVY

Štefan PEŠKO

Katedra matematických metód, Fakulta riadenia a informatiky, Žilinská univerzita

1. Úvod

Plánovanie vlakovej dopravy vyžaduje riešenie viacerých optimalizaèných úloh. Špecifickou úlohou je tvorba grafikonu vlakovej dopravy, i alej len GVD, pri ktorej sa hľadá bezkonfliktový cestovný poriadok vlakov v železnièej sieti. Pre túto úlohu je charakteristické množstvo záväzných predpisov, ktoré v záujme bezpečnosti prevádzky obmedzujú prípustné množiny grafikonov.

Zdroje k problematike sú pomerne chudobné, nakoľko sa jedná o komerèné projekty. Výnimkou je práca [1], ktorá sa venuje pravidelným intervalovým grafikonom, kde všetky vlaky majú odchody v pravidelných intervaloch a rovnaké doby jazdy na zhodných traťových úsekoch železnièej siete. Autori ukázali, že takýto grafikon možno modelovať ako riešenie úlohy lineárneho programovania. Komerèným grafikonom s nepravidelnou časovou polohou spojov sa už taká publicita nevenuje, i keď vedú na algoritmicky ťažké kombinatorické úlohy. Princípy riešenia sú utajované.

Prakticky úspešné zvládnutie tvorby výlukového GVD na traťovom úseku už predstavuje zaujímavú optimalizaènú úlohu, ktorou sme sa zaoberali v prácach [3] a [2]. Ukázalo sa totiž, že tvorba GVD na viackrátnej trati je uspokojujúco riešiteľná pomocou tvorby GVD na jednej traťovej koľaji. Teoretické výsledky našli uplatnenie pri tvorbe

systému SENA vyvíjaného na ŽU pre potreby najskôr Ěeských dráh [6] a neskôr aj pre Źeleznice Slovenskej republiky [7]. Systém umožňuje vyuŹi• beŹný osobný po•íta• a jeho grafické schopnosti na zobrazenie GVD na tra•ových úsekoch a vstaniciach Źelezni•nej siete. Riešenie simuláciou [8] umožňuje posúvanie trás vlakov pri minimalizácii meškania a narušenia vlakov. Súčasou systému sa stali aj naše algoritmy na hŹádanie a riešenie konfliktov GVD v uzloch a úsekoch siete.

Ĺ alej prezentujeme optimaliza•né úlohy tvorby niektorých elementárnych typov GVD [9], ktoré patria do triedy NP -•aŹkých úloh. Pre tieto úlohy nie je reálne očakáva• nájdenie optimálneho GVD v polynomiálnom •ase a preto je potrebné vyvíja• heuristické algoritmy poskytujúce suboptimálne GVD v prijateľnom - polynomiálnom •ase. Aj keď sú riešenia nasledujúcich elementárnych úloh len veľmi zjednodušeným modelom reálnych GVD, umožňujú štúdium základných problémov ich tvorby.

2. Výlukový grafikon vlakovej dopravy

Základná úloha tvorby výlukového GVD na tra•ovom úseku, medzi dvoma susednými uzlami A a B , Źelezni•nej siete - Ĺ alej len $VGVD(A, B)$ je formulovaná nasledovne:

Je daná množina spojov reprezentujúca platný cestovný poriadok vlakov na tra•ovom úseku AB v •ase výluky. Je známa matica •asových odstupov W medzi spojmi. Nekonfliktný (prípustný) GVD - vznikne •asovým posunom spojov, ktorý na jedinej pojazdnej koľaji dodrŹuje jednak minimálny odstup vlakov jednak maximálne prípustné meškание vlakov. HŹadá sa prípustný GVD minimalizujúci ocenené meškания vlakov v cieľových uzloch.

Všetky Ĺ alej uvádzané •asové údaje sa v Źelezni•nej doprave udávajú v polminútach ako technologickej •asovej jednotke.

Majme kone•nú množinu prirodzených •ísel $N = \{1, 2, \dots, n\}$. MnoŹinou spojov nazveme množinu $S = \{s_i : i \in N\}$, kde spoj s_i je ur•ený usporiadanou 8-ticou údajov:

$$s_i = (v^i, m_o^i, m_p^i, t_o^i, t_p^i, d_o^i, d_p^i, d_{max}^i), \quad (1)$$

kde:

v^i •íslo vlaku,

m_o^i a m_p^i uzol (stanica) odchodu a príchodu spoja,

t_o^i •as pravidelného odchodu z uzla odchodu,

t_p^i čas pravidelného príchodu do uzla príchodu,
 d_o^i a d_p^i doba pobytu v uzle odchodu a príchodu,
 d_{max}^i maximálna prípustná doba meškania vlaku.

V prípade spojov s_i na traťovom úseku AB sú zrejme $m_o^i, m_p^i \in \{A, B\}$.

Prípustným meškaním spojov rozumieme množinu $t = \{t(s) : s \in S\}$, kde meškanie spoja $t(s)$ je určené usporiadanou dvojicou:

$$t(s) = (t_o, t_p), t_o \leq t_p, t_p \in \{0, 1, \dots, d_{max}\}, \quad (2)$$

kde:

t_o doba meškania spoja s pri odchode z m_o ,

t_p doba meškania spoja s pri príchode do m_p .

Pre jednoduchšie vyjadrovanie hovoríme o meškaní spoja aj v prípade, keď $t_o = t_p = 0$.

Bez ujmy na všeobecnosti budeme ě alej predpokladať, že množina spojov S je lexikograficky usporiadaná podľa pravidelného odchodu spojov a ěslna vlakov. Potom nám index spoja umožňuje zistiť aj radenie vlakov na traťovom úseku. ěslnami vlakov môžeme kódovať prioritu vlakov, napr. tak, že vlak z menším ěslnom vlaku má väčšiu prioritu. ěslo vlaku nám tiež umožňuje sledovať časovú polohu vlaku na jeho trase, v uzloch železničnej siete. Staě vybrať spoje s daným ěslnom vlaku a usporiadať ich podľa ěas pravidelného odchodu v uzle odchodu.

Nech w_{ij} je doba minimálnych odstupov medzi spojmi s_i a s_j na (jedinej) pojazdnej koľaji. Spoj s_j môže nekonfliktne nadviazať na spoj s_i , ěo znaěíme pomocou relácie následnosti $s_i \mathbf{p} s_j$, keď platí:

$$t_p^i + w_{ij} \leq t_o^j. \quad (3)$$

Takto môžeme veľmi jednoducho overiť dodržanie minimálnych technologických odstupov vlakov na úseku i v uzloch, ak vlaky nemeškajú. Ak však v dôsledku výluky traťovej koľaje zostane len jedna pojazdná traťová koľaj, vznikne potreba prípustne zmeškať niektorý vlak.

Zmeškaný spoj s_i s meškaním $t(s_i)$ budeme značiť $s_i(t)$. Spoj $s_j(t)$ môže nekonzfliktne nadviazať na spoj $s_i(t)$, èo znaèíme pomocou relácie následnosti $s_i(t) \mathbf{p} s_j(t)$, keï platí:

$$t_p^i + \hat{p}^i + w \leq t_o^j + \hat{p}^j. \quad (4)$$

Ak podmienka (3) resp. (4) nie je dodržaná, dochádza ku konfliktu spojov, èo znaèíme $s_i \circ s_j$ resp. $s_i(t) \circ s_j(t)$.

Množina prípustných výlukových grafikonov R je tvorená permutáciami množiny indexov spojov pre ktoré existujú prípustne zmeškané spoje tak, že všetky jej následné dvojice sú nekonzfliktné, t.j.:

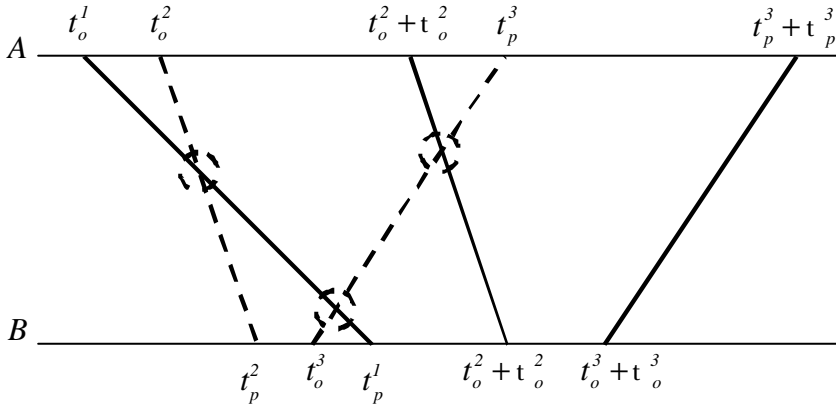
$$R = \left\{ p \in \Pi(N) : \exists t \in t_p \cdot s_p(1)(t) \mathbf{p} s_p(2)(t) \mathbf{p} \dots \mathbf{p} s_p(n)(t) \right\}, \quad (5)$$

ktoré zabezpeujú na pojazdnej koľaji dodržiavanie minimálnych odstupov vlakov pri tolerovanom meškaní spojov.

Príklad 1. Zadná zrážka vlakov v^1, v^2 na traťovom úseku AB s pravidelnými spojmi $s_1 = (v^1, A, t_o^1, B, t_p^1, \dots)$ a $s_2 = (v^2, A, t_o^2, B, t_p^2, \dots)$ je zobrazená bodkovaným kolieskom na obr. 1. Zmeškaním rýchlejšieho no neskoršieho vlaku v^2 o dobu $t_o^2 = t_p^2$ sme odstránili konflikt $s_1 \circ s_2$. Pre vlak v^1 je $t_o^1 = t_p^1 = 0$. Potom máme $s_1(t) \mathbf{p} s_2(t)$. Tretí vlak v^3 so spojom $s_3 = (v^3, B, t_o^3, A, t_p^3, \dots)$ by mal èelnú zrážku s vlakom v^1 a neskôr aj so zmeškaným spojom $s_2(t)$ vlaku v^2 . Jeho zmeškaním o dobu $t_o^3 = t_p^3$ sme odstránili aj tieto konflikty a tak máme $s_1(t) \mathbf{p} s_2(t) \mathbf{p} s_3(t)$ - so zmeškanými spojmi zobrazenými plnými èiarami. Nemusí to byť však jediné prípustné riešenie.

Samotný výpočet matice odstupov spojov $W = (w_{ij})$ typu $n \times n$ je v skutočnosti algoritmicke netriviálny problém, o èom sa mohli presvedčiť autori systému SENA. Je tvorená z následných medziobdobí, stanienných intervalov a ďalších technologických èasov. Voľba prípustných meškaní spojov urèená vzťahom (2) zabezpeuje, že vlaky nemôžu jazdiť na skrátené jazdné doby, aj keï vlaková cesta takúto jazdu pripúšťa. V systéme SENA si jej zavedenie vyžiadalo rozšíriť definíciu spoja (1) o ďalší údaj - skrátená doba jazdy spoja, ktorý však nemal podstatný vplyv na algoritmicke zložitost hľadania prípustných výlukových grafikonov.

Štefan Peško:



Obr. 1 Riešenie zadnej a čelnej zrážky vlakov pri výluku
Fig. 1 Solution of the reverse and frontal conflict of trains

Na ocenenie výlukového grafikonu potrebujeme ohodnotenie $c_{ij}(t)$ následnosti nekonzfliktných spojov $s_1(t)$ a $s_2(t)$.

Cenou výlukového grafikonu R_t^* pri radení spojov $p \in \Pi(N)$ rozumieme číslo:

$$f(R_t^*) = \min_{t \in T} \sum_{k=1}^{n-1} c_{p(k), p(k+1)}(t). \quad (6)$$

Optimálnym výlukovým grafikonom R^* rozumieme riešenie optimalizačnej úlohy:

$$f(R_t^*) = \min \left\{ f(R_t) : R_t \in R, t \in T \right\}. \quad (7)$$

Vyriešenie cieľovej funkcie (6) vyžaduje vzhľadom na vzájomné ovplyvňovanie meškání spojov riešenie optimalizačnej úlohy pre každú voľbu radenia spojov v rozvrhu. Úlohu VGVD (A, B) tak môžeme formulovať a riešiť ako úlohu obchodného cestujúceho s nelineárnou cieľovou funkciou:

$$\min f(R_t) = \min \left\{ \sum_{i \in N} \sum_{j \in N} c_{ij}(t) \cdot \sum_{k \in N, -\{n\}} y_{ik} \cdot y_{j, k+1} \right\}, \quad (8)$$

$$\sum_{i \in N} y_{ik} = 1 \quad \forall k \in N, \quad (9)$$

$$\sum_{k \in N} y_{ik} = 1 \quad \forall i \in N, \quad (10)$$

$$y_{ik} \in \{0, 1\} \quad \forall i \in N, \forall j \in N. \quad (11)$$

Premenné tejto nelineárnej úlohy bivalentného programovania interpretujeme ako v úlohe Q T S P , ak $y_{ik}=1$ potom $p(k) = i$ a spoj s_i bude mať v rozvrhu poradie k .

V práci [5] sa experimentovalo s ohodnotením $c_{ij}(t)$ následných spojov v tvare:

$$c_{ij}(t) = \begin{cases} q_{ij} + r_i (t_o^i + t_p^i) & \text{ak } s_i(t) \text{ p } s_j(t) \\ \infty & \text{ak } s_i(t) \text{ o } s_j(t) \end{cases}, \quad (12)$$

kde:

q_{ij} penalizácia následnosti spojov s_i p s_j ,

r_i penalizácia jednej polminúty meškania spoja spoja s_i .

V penalizácii q_{ij} sú v systéme SENA zohľadnené najmä radenia vlakov podľa druhu (IC, R, Os, atd.), ale aj technologické obmedzenia zabezpečovacích zariadení.

3. Grafikon na dvojkoľajovom úseku

Úloha tvorby GVD na dvojkoľajovom traťovom úseku, medzi dvoma susednými uzlami A a B , železničnej siete - ě alej len GVD (A,B) - je formulovaná nasledovne:

Je daná množina spojov reprezentujúca platný cestovný poriadok vlakov na traťovom úseku AB v sledovanom období. Je známa trojindexová matica časových odstupov W pre 1. a 2. traťovú koľaj medzi spojmi. Nekonfliktný (prípustný) GVD - vznikne časovým posunom spojov alebo zmenou traťovej koľaje vlaku, ktorý na oboch koľajách dodržiava jednak minimálny odstup vlakov jednak maximálne prípustné meškanie vlakov. Hľadá sa prípustný GVD minimalizujúci ocenené meškania vlakov v cieľových uzloch.

Na rozdiel od úlohy VGVD (A,B) tu máme k dispozícii dve koľaje, ěo vedie k potrebe rozšíriť definíciu spoja.

Majme konečnú množinu prirodzených ěísel $N = \{1,2,\dots,n\}$. Množinou spojov nazveme množinu $S = \{s_i : i \in N\}$, kde spoj s_i je urěený usporiadanou 9-ticou údajov:

$$s_i = \{v^i, m_o^i, m_p^i, t_o^i, t_p^i, d_o^i, d_p^i, d_{max}^i, k_t^i\}, \quad (13)$$

kde:

v^i ěíslo vlaku,

m_o^i a m_p^i uzol (stanica) odchodu a príchodu spoja,
 t_o^i čas pravidelného odchodu z uzla odchodu,
 t_p^i čas pravidelného príchodu do uzla príchodu,
 d_o^i a d_p^i doba pobytu v uzle odchodu a príchodu,
 d_{max}^i maximálna prípustná doba meškania vlaku,
 k_t^i pravidelne pojazdová trať.

V prípade spojov s_i na dvojkoľajovom traťovom úseku je zrejmé $k_t^i \in \{1, 2\}$.

Prípustným meškaním spojov rozumieme množinu $t = \{t(s) : s \in S\}$, kde meškanie spoja $t(s)$ je určené usporiadanou trojicou:

$$t(s) = (t_o, t_p, k_t), \quad t_o \leq t_p, \quad t_p \in \{0, 1, \dots, d_{max}\}, \quad k_t \in \{1, 2\}, \quad (14)$$

kde:

t_o doba meškania spoja s pri odchode z m_o ,
 t_p doba meškania spoja s pri príchode do m_p ,
 k_t traťová koľaj meškajúceho spoja s .

Pojem prípustného meškania (2) bolo potrebné zmeniť, nakoľko zmena pravidelne jazdenej koľaje je technologicky často spojená s meškaním pri odchode resp. príchode vlaku. Pre jednoduchšie vyjadrovanie budeme hovoriť o meškaní spoja aj v prípade, keď $t_o = t_p = 0$.

Nech w_{ijk} je doba minimálnych odstupov medzi spojmi s_i a s_j na spoločnej traťovej koľaji k , ($k_t^i = k_t^j$). Ďalej budeme indexy vynechávať a písať len k .

Zmeškaný spoj $s_j(t)$ môže nekonfliktne nadviazať na spoj $s_i(t)$, čo značíme pomocou relácie následnosti $s_i(t) \mathbf{P} s_j(t)$, keď platí:

$$t_p^i + t_p^i + w_{ijk} \leq t_o^j + t_o^i. \quad (15)$$

Na ocenenie prípustného grafikonu potrebujeme ohodnotenie $c_{ijk}(t)$ následnosti nekonzfliktných spojov $s_i(t)$ a $s_j(t)$ na spoločnej koľajke. Grafikony sú tu opäť určené radením spojov.

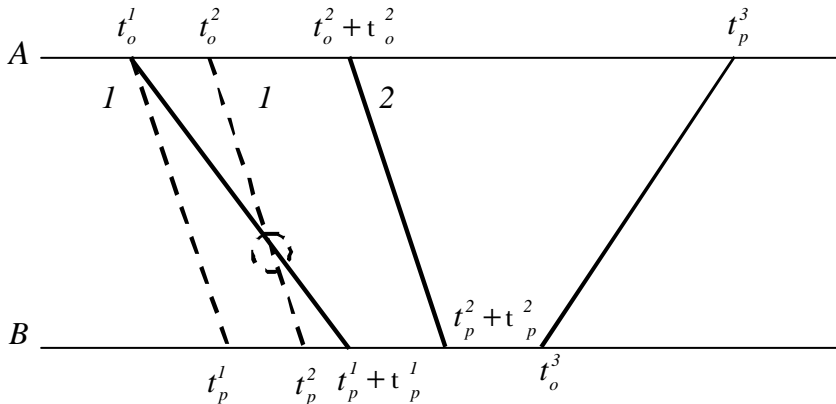
Cenou grafikonu R_t^* pri radení spojov $p \in \Pi(N)$ rozumieme číslo:

$$f(R_t^*) = \min_{t \in T} \sum_{p=1}^{n-1} \sum_{q=p+1}^n c_{p(p),p(q)}(t) \prod_{l=p+1}^{q-1} c(s_{p(p)}(t), s_{p(l)}(t)). \quad (16)$$

Optimálnym grafikonom R^* rozumieme riešenie rozvrhovacej úlohy:

$$f(R_t^*) = \min \{ f(R_t) : R_t \in R, t \in T \}. \quad (17)$$

Výber cieľovej funkcie vyžaduje okrem výpočtu meškaní spojov aj rozhodnutie o priradení traťových koľají, čo vedie na riešenie úlohy optimálneho rozkladu množiny spojov do dvoch traťových koľají. Súčin charakteristických funkcií konfliktných nadväzností spojov v cieľovej funkcii (16) slúži na výber bezprostredne nadväzujúceho spoja $s_p(q)(t)$ na spoj $s_p(p)(t)$ pre spoločnú koľaj k_t rozvrhu.



Obr. 2 Riešenie zadnej zrážky vlakov na dvojkoľajnej trati
Fig. 2 Solution of the reverse conflict of trains on two rail of track

Príklad 2. Zadná zrážka vlakov v^1 a v^2 na traťovom úseku AB s pravidelným spojom $s_1 = (v^1, A, t_o^1, B, t_p^1, \dots, I)$ a spojom $s_2 = (v^2, A, t_o^2, B, t_p^2, \dots, I)$ je zobrazená prietom vlak v^2 má meškanie $t(s_1) = (0, t_p^1, I)$ je zobrazená bodkovaným kolieskom na **obr. 2**.

Zmenou tračovej koľaje v^2 z 1 na 2 dôjde aj k meškaniu spoja $t(s_2) = (t_p^2, t_p^2, 2)$ a tak sme odstránili konflikt $s_1(t) \circ s_2(t)$. Tretí vlak v^3 so spojom $s_3 = (v^3, B, t_o^3, B, t_p^3, \dots, 2)$ nie je konfliktný so spojom $s_2(t)$ a tak formálne položíme $s_3(t) = (0, 0, 2)$. Dostali sme jedno nekonfliktné riešenie $s_1(t) \mathbf{p} s_2(t) \mathbf{p} s_3(t)$ so spojmi zobrazenými plnými čiarami.

Na rozdiel od riešenie výlukového VGVD (A, B) tu máme ešte jeden stupeň voľnosti spočívajúci vo voľbe vhodnej tračovej koľaje. V prípade, ak zmena koľaje nie je penalizovaná, je cena optimálneho výlukového grafikonu najmenej rovná cene optimálneho dvojkolejového grafikonu. Je prirodzené požadovať zachovanie tejto vlastnosti aj pre suboptimálne grafikony.

Úlohu GVD (A, B) tak môžeme formulovať a riešiť ako relaxovanú úlohu VGVD (A, B) , kde sme požiadavku jedinej pojazdnej koľaje nahradili ponukou dvoch tračových koľají:

$$\min f(R_t) = \min_{t \in T} \left\{ \sum_{i \in N} \sum_{j \in N} \left(c_{ij1}(t) \cdot z_i \cdot z_j + c_{ij2}(t) \cdot (1 - z_i) \cdot (1 - z_j) \right) \cdot \sum_{p=1}^{n-1} \sum_{q=p+1}^n y_{ip} \cdot y_{jq} \cdot \prod_{l=p+1}^{q-1} c(z_i \neq z_l) \right\}, \quad (18)$$

$$\sum_{i \in N} y_{ik} = 1 \quad \forall k \in N, \quad (19)$$

$$\sum_{k \in N} y_{ik} = 1 \quad \forall i \in N, \quad (20)$$

$$z_i, y_{ik} \in \{0, 1\} \quad \forall i \in N, \forall k \in N. \quad (21)$$

Premenné y_{ik} , analogicky ako v úlohe VGVD (A, B) , rozhodujú o radení spojov na tračovom úseku. Premenná z_i rozhoduje o priradení koľaje k spoju s_i . Ak $z_i = 1$, potom je tračová koľaj $k_t^i = 1$, ak $z_i = 0$, potom je tračová koľaj $k_t^i = 2$.

4. Grafikon vlakovej dopravy v sieti

Úloha tvorby GVD v železničnej sieti G - ě alej len GVD (G) - je formulovaná nasledovne:

Je daná množina spojov reprezentujúca platný cestovný poriadok vlakov na pojazdných kožajách dopravnej cesty vlakov v sledovanom období. Železničná sie• je reprezentovaná vrcholovo ohodnoteným digrafom $G=(V,H,w)$, ktorého množina vrcholov V je tvorená tra•ovými a staniènymi kožajami, množina hrán H incidentnými kožajami a vrcholovým ohodnotením w minimálnych èasových odstupov medzi nadväzujúcimi spojmi vlakov. Nekonfliktný (prípustný) GVD - vznikne èasovým posunom spojov alebo zmenou kožaje vlakov, ktorý na kožajach dodržiava jednak minimálny odstup vlakov jednak maximálne prípustné meškaniè vlakov. Hžádá sa prípustný GVD minimalizujúci ocenené meškaniè vlakov v ciežových stanièiach vlakov.

Na rozdiel len od dvoch tra•ových kožají úlohy GVD (A,B) tu uvažujeme s kožajami na úsekoch (tra•ové) a v uzloch (stanièné), èo opä• vedie k potrebe doplniè údaje v definícii spoja.

Majme koneènú množinu prirodzených èisel $N = \{1,2,\dots,n\}$. Množinou spojov nazveme množinu $S = \{s_i : i \in N\}$, kde spoj s_i je urèený usporiadanou 10-ticou údajov:

$$s_i = (v^i, m_o^i, m_p^i, t_o^i, t_p^i, d_o^i, d_p^i, d_{max}^i, k_t^i, K_t^i), \quad (22)$$

kde:

- v^i èíslo vlaku,
- m_o^i a m_p^i uzol (stanica) odchodu a príchodu spoja,
- t_o^i èas pravidelného odchodu z uzla odchodu,
- t_p^i èas pravidelného príchodu do uzla príchodu,
- d_o^i a d_p^i doba pobytu v uzle odchodu a príchodu,
- d_{max}^i maximálna prípustná doba meškanièa vlaku,
- k_t^i pravidelne pojazdná kožaj,
- K_t^i množina prípustných pojazdných kožají.

V prípade spojov s_i na kožaji je zrejme $k_t^i \in K_t^i$.

Železničná sie• je modelovaná vrcholovo ohodnoteným digrafom $G=(V,H,w)$,
 kde:

- V konečná množina košají $V=\{k_1,k_2,\dots,k_n\}$,
 H množina košají so spoločným zhlavím
 $H=\{h_1,h_2,\dots,h_M\}$,
 w doba minimálnych odstupov spojov na
 košají; $w(s_i,s_j,k)$ je minimálna doba, ak na
 košají $k \in V$ po spoji $s_i \in S$ bezprostredne
 nasleduje spoj $s_j \in S$.

Prípustným meškaním spojov rozumieme množinu $t = \{t(s) : s \in S\}$, kde
 meškanie spoja $t(s)$ je určené usporiadanou trojicou:

$$t(s) = (t_i, t_p, k_t), t_i \leq t_p, t_o, t_p \in \{0, 1, \dots, d_{max}\}, k_t \in K_t, \quad (23)$$

kde:

- t_i doba meškania spoja s pri odchode z m_o ,
 t_p doba meškania spoja s pri príchode do m_p ,
 k_t pojazdná košaj meškajúceho spoja s .

Zmeškaný spoj $s_j(t)$ môže nekonfliktne nadviaza• na spoj $s_i(t)$, èo znaèíme
 pomocou reláciu následnosti $s_i(t) \mathbf{p} s_j(t)$, ke• je dodržaná doba minimálneho
 odstupu spojov s_i, s_j na spoločnej košají k veľkosti $w_{ijk} = w(s_i, s_j, k)$, t.j.:

$$t_p^i + t_p^i + w_{ijk} \leq t_o^j + t_o^i. \quad (24)$$

Príklad 3. Na obr. 3 máme príklad prípustného grafikonu na trati ABC
 modelovanej digrafom $G=(V,H,w)$, kde:

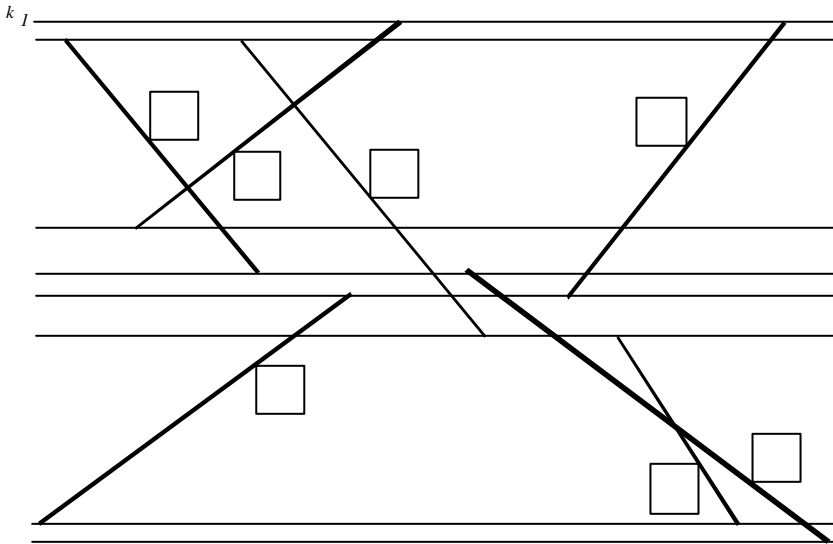
$$V = \{k_1, k_2, \dots, k_{11}\},$$

$$H = \{(k_1, k_3), (k_3, k_1), (k_2, k_9), (k_9, k_4), (k_4, k_{10}), (k_{10}, k_8), \dots, (k_7, k_{11}), (k_{11}, k_7)\},$$

prièom:

$$k_1, k_2 \dots \text{sú stanièné košaje v stanici A,}$$

k_3, k_4, k_5, k_6 sú stanièné kožaje v stanici B,
 k_7, k_8 sú stanièné kožaje v stanici C,
 k_9 je jedinã pojazdnã traovã kožaj na úseku AB,
 k_{10}, k_{11} sú traovã kožaje pojazdnã v oboch smeroch na úseku BC.



Obr. 3 Prípustný grafikon na trati ABC
Fig. 3 Feasible train-scheduling on the track ABC

V štvorcoch dotýkajúcich sa spojov sú zobrazené èísla vlakov. Predpokladã sa pojazdnã kolãjã v oboch smeroch. Za pozornos• stojã, že vlaky v^1 a v^4 nie sú na trati BC konfliktnã, nakožko jazdia v zhodnom smere a èase ale po rôznych traovã kožajãch k_{10} a k_{11} .

Na ocenenie prãpustnãho grafikonu potrebujeme ohodnotenie $c_{ijk}(t)$ nãslednosti nekonfliktnã spojov $s_i(t)$ p $s_j(t)$ na spoločnej kožaji k_t . Optimãlný grafikon je aj tu urãený optimãlným radenãm indexov množiny spojov $p^* \in \Pi(N)$ ako v modeli $GVD(A, B)$. Definãcie ceny grafikonu a optimãlnãho grafikonu ostãvãjã bezo zmeny. Zložitãs• siete sa tu prejãvã len v riešenã nelineãrnej rozvrhovacej úlohy (16).

Vãvoj systãmu SENA [7] viedol k vežni komplexnej ciežovej funkcie $f(R_t)$, ktorã zohãdõuje - konfliktnã paralelnã jazdy na susednã kožajãch, možnã konflikty

Štefan Peško:

nastupujúcich a vystupujúcich cestujúcich s prechádzajúcimi vlakmi pri neexistencii podchodu, prioritu stanienných koľají pre požadovaný smer jazdy, atď .

5. Metódy a otvorené problémy

Principiálny rozdiel optimalizačných úloh je tu len vo vyjásnení $f(R_t)$ - cieľových funkcií:

- -úloha lineárneho programovania pre ,
- -úloha dynamického programovania pre ,
- -ťažká úloha celoèiselného programovania pre ,

hľadajúcich optimálne riešenie pri fixovanom radení spojov grafikonu.

Skutoènosť, že prezentované optimalizaèné úlohy možno chápať aj ako špeciálne modifikácie úlohy obchodného cestujúceho, nám umožňujú upravovať [9] heuristické metódy pre úlohu obchodného cestujúceho.

- *Metóda èiastoèených súèetov.*

Postupná tvorba lacnejšieho grafikonu umožòuje hľadať príslušne relaxované (èiastoèené) grafikony uvažovaných úloh tak, aby boli splnené požadované èiastoèené súèety metódy. Metódu možno odporúèať len pre podúlohu s veľmi malým poètom spojov . Ani v prípade veľmi ostrých obmedzujúcich podmienok následnosti spojov však nemòžeme vylúèi dramatický rast poètu riadkov tabuľky èiastoèených riešení.

- *Pyramídová metóda.*

Doteraz bola skúmaná modifikovaná multipyramídová verzia metódy, [5], pre úlohu s veľmi povzbudivými výsledkami. Poèítaèové experimenty ukázali, že aj v prípadoch ocenení všeobecnými (nie Mongeho) maticami je tento princíp (polynomiálneho hľadania exaktného riešenia v exponenciálnom okolí prípustného riešenia) prekvapujúco efektívny.

- *Metóda perturbaènej schémy.*

Táto univerzálna metóda bola aplikovaná [3] v poèiataèených etapách riešenia úlohy . Jej kvalita je závislá od použitej heuristiky hľadania testovaného radenia spojov. Pre svoju nepredvídateľnú dobu

výpočtu však nie je v systéme SENA odporúčaná pri operatívnom riešení konfliktov grafikonu.

- *Metóda zakázaného prehľadávania (tabu search).*

Táto metaheuristika zatiaľ ešte nebola overovaná na žiadnej z prezentovaných úloh. Očakávame však uspokojivé výsledky najmä pri kombinácii metódy zakázaného prehľadávania s metódami typu pyramídovej metódy.

- *Dekompozičné metódy.*

Dekompozičná metóda založená na metóde kľavých permutácii bola testovaná v systéme SENA pri riešení úlohy . Počítačové experimenty ukázali, že je prirodzené chápať koordinátnú úlohu ako úlohu hľadajúcu radenie spojov pri priemerných meškaniach a príslušné dekomponované úlohy medzi uzlami siete ako úlohy .

Otvoreným zostáva problém vypočítaného vedenia dopravnej cesty v kožajisku staníc, ktorý by mohol priniesť zaujímavé výsledky.

Z hľadiska teórie sú tu otvorené najmä otázky odhadov aproximačného pomeru prezentovaných metód aj pre prakticky nerealistické inštalácie úloh. Ich štúdium by mohlo priniesť neskoršie aplikovateľné poznatky.

Lektoroval: Doc. Ing. Josef Volek, CSc.

Predloženo: v břežnu 2002.

Literatura

1. Migom, A., Valert, W. *A Sequential Route-building Algorithm Employing a Generalised Savings Criterion*. Rail International, No 2, 1981, pp.71-79.
2. Šotek, K., Peško, Š., Virdzek, O. *Uplatnenie personálneho počítateľa pri tvorbe modelu grafikonu vlakovej dopravy na dvojkoľajnom traťovom úseku*. Železničná technika, No.2, NADAS, 1990, pp.56-57.
3. Peško, Š. *Optimalizácia výlukového grafikonu vlakovej dopravy*. ŽEL'95, Zborník prednášok, VŠDS, Žilina, 1995, pp.85-91.
4. Šotek, K. *Optimalizace výlukové činnosti pomocí simulačného modelu*. Scientific Papers of the University of Pardubice, Series B, The Jan Perner Transport faculty 3, 1997, pp.147-151.
5. Potočiar, M. *Optimalizácia výlukového grafikonu*. Diplomová práca, FRI-ŽU, Žilina, 2001.
6. Šotek, K., Bachratý, H., Greiner, K., Tavaè, V. *New Modules for System SENA*. 8th International Symposium ŽEL'2001, Žilina, ŽVS, 2001, pp.251-256. ISBN 80-7135-055-9.
7. Šotek, K., Bachratý, H., Tavaè, V. *Transport Line Control Model*. 8th International Conference MOSMIC'2001, Súčav, EDIS ŽU, 2001, pp.111-115. ISBN 80-7100-883-4.
8. Šotek, K., Bachratý, H. *Simulačnı model železničnı dopravy v IS SENA*. Mezinárodní konference informačnıch technologiı v dopravı , INFOTRANS, Pardubice, 2002, pp.47-48. ISBN 80-7194-419-8.

Štefan Peško:

9. Peško, Š. *Optimalizácia NP-ťažkých dopravných rozvrhov*. Habilitačná práca, FRI-ŽU, Žilina, 2002.

Resumé

OPTIMALIZAÈNÉ MODELY TVORBY GRAFIKONU

Štefan PEŠKO

V príspevku zoznamujeme s poznatkami riešiteľa v grafikonu vlakovej dopravy GVD pre komerčný systém SENA v rokoch 1988-2000. Analyzujeme tri základné optimalizačné modely tvorby GVD. Formulujeme nové otvorené problémy súvisiace s kvalitou aplikovaných metód.

Summary

OPTIMISATION OF MODELS OF THE TRAIN-SCHEDULING

Štefan PEŠKO

The experiences from years 1988-2000 of solving a time train-scheduling problem for the commercial railroad system SENA are presented. Three simple models of optimization are given. The several open questions of quality of applied methods are formulated.

Zusammenfassung

OPTIMALISIERUNGSMODELLE IN DER BILDUNG DES BILDFAHRPLANES

Štefan PEŠKO

Die Planung des Zugverkehrs verlangt die Lösung mehrerer Optimisationsaufgaben zusammen. Die spezifische Aufgabe ist die Bildung des Bildfahrplanes (weiter nur BFP), die den konfliktlosen Fahrplan im Eisenbahnnetz sucht. Diese Aufgabe ist dadurch gekennzeichnet, dass sie ganz grosse Menge der verbindlichen Vorschriften in Betracht ziehen muss. Wegen der Sicherheit beschränken sie die zulässigen Mengen der Bildfahrpläne.

In diesem Beitrag befassen wir uns mit den Löser-erfahrungen des kommerziellen Systems unter dem Namen SENA aus den Jahren 1988-2000. Drei grundlegende Optimisationsmodelle der BFP werden der Analyse unterzogen, die man so formulieren kann:

- Der Ausschlussbildfahrplan des Zugverkehrs. Es wird eine Menge der Verbindungen gegeben, die den gültigen Zugfahrplan im Streckenabschnitt in der Zeit des Ausschlusses darstellt. Die Matrix der Zeitspanne zwischen der Verbindungen ist bekannt.

Der konfliktlose BFP entsteht durch Zeitverzögerung der Verbindungen, der auf einem freiem Streckengleis einerseits den minimalen Zugabstand andererseits die maximal zulässige Zugverspätungen einhältet.

- Der Bildfahrplan auf dem doppelgleisigen Streckenabschnitt. Es wird ein Menge der Verbindungen gegeben, die den gültigen Zugfahrplan im Streckenabschnitt im verfolgten Zeitraum darstellt. Die Drei-Index-Matrix der Zeitabstände für das 1. und 2. Gleis ist bekannt.

Der konfliktlose BFP entsteht durch Zeitverzögerung der Verbindungen oder durch die Änderung des Streckengleises, der auf beiden Gleisen einerseits den minimalen Zugabstand andererseits maximal zulässige Zugverspätung einhältet.

- Der Bildfahrplan des Zugverkehrs im Eisenbahnnetz. Es wird eine Menge der Verbindungen gegeben, die den gültigen Fahrplan auf den Fahrgleisen des Verkehrsweges im verfolgten Zeitraum darstellt. Das Eisenbahnnetz wird durch den eckbewerteten Digraph dargestellt, dessen Menge der Ecken mit Strecken- und Bahnhofgleisen gebildet wird. Die Menge der Kanten ist mit den inzidenten Gleisen gebildet und durch minimalen Zeitabständen der angebotenen Züge bewertet.

Der konfliktlose BFP entsteht durch Zeitverzögerung der Verbindungen oder durch die Änderung der Zugfolge, der auf den Gleisen einerseits den minimalen Zugabstand andererseits maximal zulässige Zugverspätung einhält.

In den durch den Apparat der Graphlehre und mathematischen Programmierung analysierten oben genannten eingeführten Modellen wird den konfliktlosen (zulässigen) BFP gesucht, der die bewertete Zugverspätung in den Zielbahnhöfen minimalisiert. Der grundsätzliche Unterschied besteht nur bei der Festlegung der zugehörigen kriterialen Funktionen. Es ist bewiesen, dass es sich hier um schwere kombinatorische Aufgaben handelt, für die wir nicht den optimalen BFP in der polynomialen Zeit finden können und deswegen ist es nötig, solche heuristischen Algorithmen zu entwickeln, um sie den suboptimalen BFP in zulässiger - polynomialer Zeit gewährleisten zu können.

Wie auch die Lösungen der eingeführten elementaren Aufgaben nur sehr vereinfachtes Modell des realen BFPs darstellen, ermöglichen sie das Studium der Grundprobleme dessen Bildung.

Am Ende dieses Beitrages befassen wir uns mit der Analyse der Möglichkeit von fünf urkundlichen Methoden, mit denen wir die reichhaltigen praktischen Erfahrungen bei der Lösung -schweren Rundverkehrsprobleme gewonnen haben. Wir führen kurz die entstandenen offenen Probleme an, deren Studium solche Erkenntnisse bringen könnten, die man später anwenden kann.